

КОРРЕЛЯЦИИ НАПРАВЛЕНИЙ ГАММА-ИЗЛУЧЕНИЯ В  $^{153}\text{Gd}$ ГАММА-ГАММА DIRECTIONAL CORRELATIONS IN  $^{153}\text{Gd}$ 

Б. А. Аликов\*, М. Будзински, Т. Бэдикэ\*\*, Я. Ваврищук, В. Жук\*\*\*, Р. Ион-  
-Михай, В. В. Кузнецов, Г.И. Лизурей, В.А. Морозов, Т. М. Муминов\*,  
М. И. Фоминых, И. Холбаев\*

Объединенный институт ядерных исследований, Дубна\*\*\*\*

(Поступила в редакцию 27 февраля 1974 г.)

The gamma-gamma angular correlations in the decay  $^{153}\text{Tb} \rightarrow ^{153}\text{Gd}$  have been studied employing Ge(Li)-Ge(Li) detectors. The  $A_2$  and  $A_4$  coefficients have been determined for the following cascades: 82.9 — 87.6, 82.9 — 19 — 109.7, 82.9 — 129.1, 102.2 — 68.2, 139.7 — 109.7, 174.3 — 87.6, 174.3 — 19 — 109.7, 102.2 — 109.7, 186.9 — 129.1, 193.7 — 109.7, 206.7 — 109.7, 332.5 — 109.7, 835.4 — 109.7, 845.6 — 109.7 and 991.7 — 109.7 keV. The mixing ratios of gamma-transitions 68.2, 87.6, 109.7 and 129.1 keV and the spins for 41.5(5/2), 109.7(5/2), 129.1(3/2), 211.9(3/2), 249.5(5/2), 303.5(5/2), 316.1(3/2), 442.5(5/2), 945.1(3/2), 955.3(5/2) and 1101.5(3/2) keV states have been deduced. The possible spin values of other states have been also analysed.

## 1. Введение

Проведенные исследования распада  $^{153}\text{Tb} \rightarrow ^{153}\text{Gd}$  в работах [1—4] не дают возможности однозначного установления значений спинов для большинства возбужденных состояний  $^{153}\text{Gd}$ .

Наличие интенсивных каскадов с E1 переходами при распаде  $^{153}\text{Tb}$  создает благоприятные условия для определения спинов многих возбужденных состояний  $^{153}\text{Gd}$ , методом угловых гамма-гамма корреляций.

В настоящей работе изучались корреляции направлений  $\gamma$ -излучений каскадов: 82,9—87,6 кэВ, 82,9 — (19) — 109,7 кэВ, 82,9 — 129,1 кэВ, 102,2 — 68,2 кэВ, 102,2 — 109,7 кэВ, 139,7 — 109,7 кэВ, 174,3 — 87,6 кэВ, 174,3 — (19) — 109,7

\* Самаркандский Госуниверситет им. А. Навои.

\*\* Институт Атомной Физики, Букарест, СРР.

\*\*\* Университет М. К.-Складовской, Люблин, ПНР.

\*\*\*\* Address: Joint Institute for Nuclear Research, Head Post Office, P.O. Box 79, Moscow, USSR.

кэВ, 186,9 — 129,1 кэВ, 193,7 — 109,7 кэВ, 206,3 — 109,7 кэВ, 332,5 — 109,7 кэВ, 835,4 — 109,7 кэВ, 845,6 — 109,7 кэВ и 991,7 — 109,7 кэВ.

Результаты измерений позволили однозначно приписать значения спинов уровням: 41,5 (5/2) кэВ, 109,7 (5/2) кэВ, 129,1 (3/2) кэВ, 211,9 (3/2) кэВ, 249,5 (5/2) кэВ, 303,5 (5/2) кэВ, 316,1 (3/2) кэВ, 442,5 (5/2) кэВ, 945,1 (3/2) кэВ, 955,3 (5/2) кэВ и 1101,5 (3/2) кэВ и определить коэффициенты смеси для  $\gamma$ -переходов 68,2 кэВ, 87,6 кэВ, 109,7 кэВ и 129,1 кэВ.

## 2. Получение радиоактивных источников $^{153}\text{Tb}$

Радиоактивный изотоп  $^{153}\text{Tb}$  ( $T_{1/2} = 2,3$  дня) образовывался в реакции глубокого расщепления ядер тантала протонами с энергией 660 МэВ на внутреннем пучке синхроциклотрона ЛЯП ОИЯИ. Из облученной мишени хроматографическим методом выделялся элемент тербий, который затем разделялся по массам на электромагнитном масс-сепараторе отдела ЯСиРХ ЛЯП ОИЯИ. Алюминиевая фольга с внедренными ионами  $^{153}\text{Tb}$  растворялась в  $\text{HCl}$ , а затем добавлялась дистиллированная вода. Радиоактивный раствор помещался с полиэтиленовую ампулу размерами  $\varnothing 3 \times 10$  мм.

## 3. Аппаратура

Измерения проводились на двух независимых автоматизированных корреляционных установках.

Первая установка была собрана на базе спектрометра  $\gamma$ - $\gamma$ -совпадений, сопряженного с ЭВМ Минск-2, работающего в двухмерном режиме с использованием цифровых окон [5]. Для регистрации  $\gamma$ -квантов применялись два  $\text{Ge}(\text{Li})$ -детектора с чувствительными объемами 40 см<sup>3</sup> и 35 см<sup>3</sup> с энергетическими разрешениями 3 кэВ и 2,5 кэВ (на  $E_\gamma = 1173$  кэВ,  $^{60}\text{Co}$ ), соответственно. Управление корреляционного стола, на котором устанавливались ампула с радиоактивным источником и оба детектора, осуществлялось автоматически. Регистрация совпадений осуществлялась циклическим образом при углах 90°, 135° и 180° с десятиминутными экспозициями. Источник находился на расстоянии 10 см от обоих детекторов.

Система цифровых окон, при разбиении памяти ЭВМ на четыре части, позволяла одновременно регистрировать шесть спектров совпадений (по 1024 канала)  $\gamma$ -лучей с  $\gamma$ -лучами, отобранными шестью энергетическими окнами в канале подвижного детектора. Временное разрешение быстрого тракта было  $2\tau \approx 60$  нсек.

В обоих энергетических трактах применялась стабилизация положения пика.

Вторая установка, применялась нами только для изучения углового распределения высокоэнергетических каскадов. Регистрация  $\gamma$ -излучения производилась  $\text{Ge}(\text{Li})$ -детектором с чувствительным объемом 45 см<sup>3</sup> и с энергетическим разрешением 3,5 кэВ на  $E_\gamma = 1173$  кэВ и двумя сцинтилляционными детекторами с кристаллами  $\text{NaI}(\text{Tl})$  размерами  $\varnothing 40 \times 40$  мм закрепленными на подвижной

платформе корреляционного стола (угол между осями сцинтилляционных детекторов  $90^\circ$ ). Энергетические окна выбирались с помощью дифференциальных дискриминаторов в каналах сцинтилляционных детекторов. Спектры совпадений для каждого окна, определенного детектора и соответствующего угла регистрировались в отдельном участке автоматической разделяемой памяти 1024-канального анализатора. Временное разрешение быстрых трактов составляло  $2\tau \approx 50$  нсек. Источник устанавливался на расстоянии 6 см от Ge(Li)-детектора и 8 см от сцинтилляционных детекторов.

В обеих установках центровка источника была не хуже 1%.

#### 4. Результаты измерений

Результаты исследований распада  $^{153}\text{Tb} \rightarrow ^{153}\text{Gd}$  [2—4] обращают внимание на большую плотность возбужденных состояний  $^{153}\text{Gd}$  и очень сложный спектр  $\gamma$ -излучения  $^{153}\text{Tb}$ . Количественные расчеты на основе спектров  $\gamma$ - $\gamma$ -совпадений в ряде случаев сильно затруднены, даже при использовании в измерениях полу-

ТАБЛИЦА I

Значения коэффициентов  $A_2$  и  $A_4$  функции угловых гамма-гамма корреляций в ядре  $^{153}\text{Gd}$

Каскад (кэВ)	Наст. работа		Польок и др. [9]
	$A_2$	$A_4$	$A_2$
82,9 — 87,6	$-0,028 \pm 0,009$	$-0,006 \pm 0,017$	$+0,064 \pm 0,040$
82,9 — 19 — 109,7	$+0,037 \pm 0,006$	$+0,007 \pm 0,016$	$+0,073 \pm 0,071$
82,9 — 129,1	$+0,158 \pm 0,029$	$-0,024 \pm 0,045$	$+1,290 \pm 0,065$
102,2 — 68,2	$-0,208 \pm 0,080$		
102,2 — 109,7	$+0,177 \pm 0,10$		$+0,160 \pm 0,021$
139,7 — 109,7	$-0,162 \pm 0,073$	$+0,040 \pm 0,125$	
174,3 — 87,6	$+0,023 \pm 0,031$	$+0,066 \pm 0,054$	$+0,194 \pm 0,085$
174,3 — 19 — 109,7	$-0,013 \pm 0,040$	$-0,008 \pm 0,065$	$+0,140 \pm 0,160$
186,9 — 129,1	$+0,170 \pm 0,095$	$-0,009 \pm 0,150$	
193,7 — 109,7	$-0,192 \pm 0,037$	$+0,003 \pm 0,069$	$-0,189 \pm 0,140$
206,3 — 109,7	$+0,163 \pm 0,059$	$0,067 \pm 0,103$	
332,5 — 109,7	0		
835,4 — 109,7	$+0,167 \pm 0,028$		$+0,090 \pm 0,050$
845,6 — 109,7	$-0,172 \pm 0,041$		
991,7 — 109,7	$+0,150 \pm 0,022$		$+0,205 \pm 0,056$

проводниковых детекторов. Поэтому нами измерялись угловые распределения только четко выделяемых каскадов, содержащих переходы: 87,6 кэВ, 109,7 кэВ и 129,1 кэВ.

Для первых двенадцати каскадов, перечисленных в табл. I, измерения проводились на установке с Ge(Li)-детекторами. Одновременно регистрировались спектры совпадений (в диапазоне энергий  $20 \div 630$  кэВ) с  $\gamma$ -лучами (82, 9+87,6) кэВ, 102,2 кэВ, 109,7 кэВ и 129,1 кэВ, и с комптоновским распределением за пи-

ками полного поглощения  $\gamma$ -лучей 109,7 кэВ и 129,1 кэВ. Участки этих спектров, для угла  $\theta = 135^\circ$ , представлены на рис. 1.

В случае высокоэнергетических каскадов 835,4 — 109,7 кэВ, 845,6 — 109,7 кэВ и 991,7 — 109,7 кэВ измерялась только анизотропия при углах  $\theta = 90^\circ$  и  $180^\circ$  (с помощью установки с NaI(Tl) и Ge(Li)-детекторами). Это достаточно, так как переходы 835,4 кэВ, 845,6 кэВ и 991,7 кэВ типа E1 [3, 4] и функция угловой

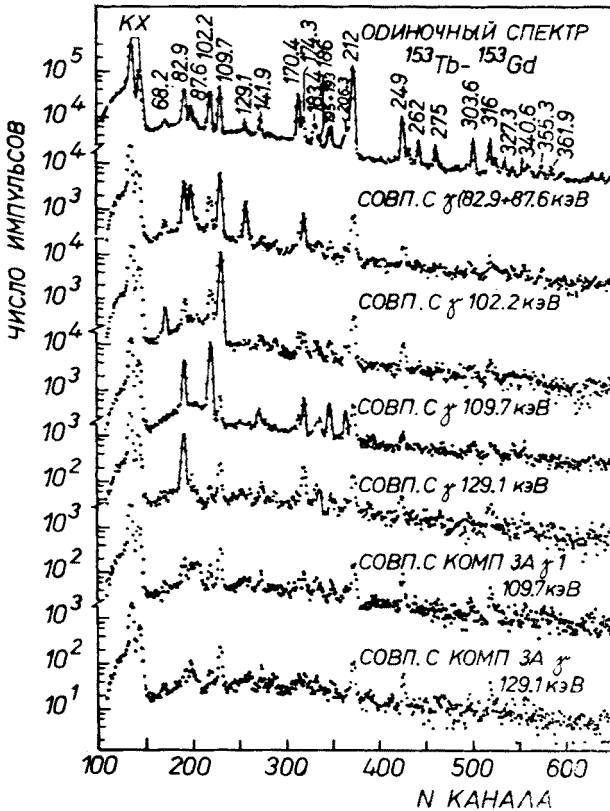


Рис. 1. Спектры совпадения гамма-лучей в  $^{153}\text{Gd}$  измеренные в одной из серий для угла  $\theta = 135^\circ$  между осями детекторов

корреляции этих каскадов содержит только два члена:  $W(\theta) = 1 + A_2 P_2(\cos \theta)$ . В этих измерениях энергетические окна были установлены на  $E_\gamma = 109,7$  кэВ, а спектры совпадений регистрировались в диапазоне энергий  $800 \div 1050$  кэВ.

При определении значений коэффициентов функции угловой корреляции, изучаемых нами каскадов, учитывались вклады: совпадений от „чужих“ каскадов случайные совпадения, поправки на центровку источника и на эффективность регистрации и телесные углы детекторов.

Для каскадов, содержащих промежуточный уровень 129,1 кэВ с временем жизни  $T_{1/2} = 2,63 \pm 0,13$  нсек [6, 7], вводилась дополнительная поправка  $G_2 =$

$= 0,932 \pm 0,020$  учитывающая ослабление угловой корреляции. Значение этой поправки было оценено по релаксационному параметру  $\lambda = (1,88 \pm 0,53)10^7$  сек $^{-1}$  ядра  $^{155}\text{Gd}$  в водном растворе  $\text{GdCl}_3$  [8].

На угловое распределение  $\gamma$ -излучений каскадов 102,2 — 109,7 кэВ и 102,2 — 68,2 кэВ измераемым в диапазоне углов  $90^\circ$  —  $180^\circ$ , даже с применением конусообразных коллиматоров, явно влияло обратное рассеяние от интенсивных  $\gamma$ -квантов 212 кэВ ( $E_{\gamma c}(180^\circ) \simeq 98$  кэВ) и 170 кэВ ( $E_{\gamma c}(180^\circ) \simeq 68$  кэВ). Поэтому для этих каскадов коэффициенты  $A_2$  определялись на основе значения их асимметрии. Это не меняет результатов, а только увеличивает их ошибку, так как переход 102,2 кэВ типа E1 [1—4].

Полученные значения коэффициентов  $A_2$  и  $A_4$  изучаемых каскадов приведены в табл. I. Там же, для сравнения, приведены результаты измерений угловых корреляций в  $^{153}\text{Gd}$  Польока и др. [9]. Как видно из этой таблицы, наши измерения выполнены существенно точнее и включают большее число каскадов. В случае каскадов 82,9 — 87,6 кэВ, 82,9 — 129,1 кэВ и 174,3 — 87,6 кэВ результаты обеих работ явно различаются. По-видимому, это является следствием неточного учета в работе [9] вклада от конкурирующих каскадов и от обратного рассеяния. Более конкретно указать причину этого расхождения трудно, так как в работе [9] нет сведений о технике измерений.

### 5. Анализ результатов измерений

#### A. Спины и четности возбужденных состояний $^{153}\text{Gd}$

При распаде основного состояния  $^{153}\text{Gd}$  с  $I^\pi = 5/2^+$  [10] можно ожидать заселения в ядре  $^{153}\text{Gd}$  состояний со спинами от  $1/2$  до  $9/2$ . Результаты работ [2, 3], в которых подробно исследовался распад  $^{153}\text{Tb} \rightarrow ^{153}\text{Gd}$  указывают, что для большинства наблюдаемых уровней  $^{153}\text{Gd}$  ожидаемые значения спинов  $3/2$  или  $5/2$  и только для нескольких уровней допускаются значения  $1/2$  и  $7/2$ .

Учитывая то, что уровни 41,5 кэВ и 93,3 кэВ принадлежат вращательной полосе основного состояния  $3/2^-$  [521] Туурнала и др. [3], на основе измеренных коэффициентов внутренней конверсии  $\gamma$ -переходов и значений  $\log ft$  в  $^{153}\text{Gd}$ , предлагают определенные значения спинов для уровней:

183,4(5/2 $^+$ ), 211,9(3/2 $^+$ ), 303,5(5/2 $^+$ ), 442,2(5/2 $^+$ ), 548,8(5/2 $^-$ ) 783,0(5/2 $^+$ ) и 945,1(3/2 $^+$ ) кэВ. Однако, если учесть более подробные данные об электронах внутренней конверсии Александрова и др. [4], то для уровней 442,2 кэВ, 548,8 кэВ, 783,0 кэВ и 945,1 кэВ допускаются также другие значения спина, а уровню 442,5 кэВ можно даже приписать противоположную четность.

В работе Польока и др. [9] по измерениям угловых гамма-гамма корреляций, определены значения спинов уровней:

129,1(3/2), 212(3/2), 303,5(5/2), 945,1(3/2) и 1101,5(3/2) кэВ.

При анализе результатов наших измерений принимались:

— схема возбужденных уровней  $^{153}\text{Gd}$  предложенная Туурнала и др. [3]

(фрагмент этой схемы, на которой указаны только  $\gamma$ -переходы изученных гамма каскадов, приведен на рис. 2);

— мультипольности переходов 82,9 кэВ, 102,2 кэВ, 186,9 кэВ, 193,7 кэВ, 206,3 кэВ, 835,4 кэВ, 845,6 кэВ и 991,7 кэВ как типа E1, переходов 87,6 кэВ, 109,7 кэВ,

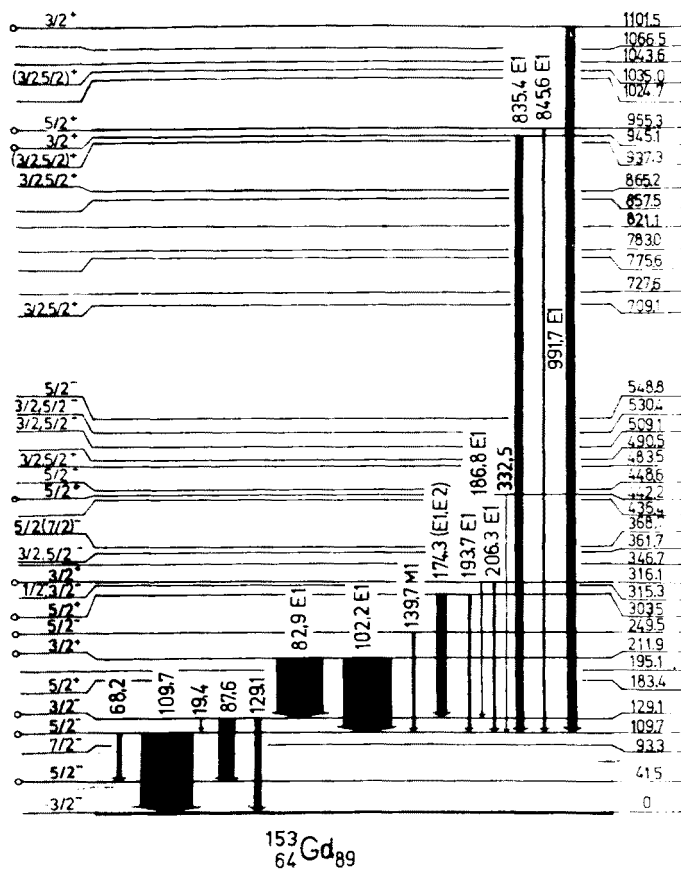


Рис. 2. Фрагмент схемы распада  $^{153}\text{Tb} \rightarrow ^{153}\text{Gd}$ . Кружочками обозначены уровни значения спинов которых установлены из измерений гамма-гамма угловых корреляций

129,1 кэВ и 139,7 кэВ — типа  $M1_+ \lesssim 1\%$  E2, а перехода 68,2 кэВ —  $M1_+ \sim 5\%$  E2 в соответствии с данными по изучению спектров электронов конверсии в  $^{153}\text{Gd}$  [1—4];

— значение спина  $I^\pi = 3/2^-$  основного состояния  $^{153}\text{Gd}$  [11].

Следует подчеркнуть, что при анализе результатов, для каждого уровня допускались значения спинов от 1/2 до 7/2, поскольку переходы рассматриваемых каскадов явно не ограничивали этого набора. Такой анализ возможен, так как все  $\gamma$ -каскады для которых измерялись угловые корреляции типа  $I_i(DD)I_f(DQ)$  3/2 и все содержат промежуточный уровень 129,1 кэВ или 109,7 кэВ.

Если рассматривать только переходы, связывающие уровни 129,1 кэВ и 109,7 кэВ с основным состоянием  $^{153}\text{Gd}$ , то для этих уровней возможны значения спинов  $5/2^-$ ,  $3/2^-$  и  $1/2^-$ . Анизотропное угловое распределение большинства измеренных нами каскадов, полностью исключает спин  $1/2$ .

В табл. II приведены теоретические значения коэффициентов  $A_2$  каскадов  $I_i(\text{DD})/(\text{D} + \leq 0,9\% \text{Q})$   $3/2$  для спинов промежуточного уровня  $3/2$  и  $5/2$ , в зависимости от значений спинов начальных состояний. Из этой таблицы видно, что положительные значения коэффициентов  $A_2$  каскадов 82,9 — 129,1 кэВ, 102,2 — 109,7 кэВ, 186,9 — 129,1 кэВ, 206,3 — 109,7 кэВ, 835,4 — 109,7 кэВ, 991,7 — 109,7 кэВ (см. табл. I) дают возможность приписать начальным уровням этих каскадов: 211,9 кэВ, 316,1 кэВ, 945,1 кэВ и 1101,5 кэВ однозначно значение  $I^\pi = 3/2^+$ . Отрицательные значения коэффициентов  $A_2$  каскадов 139,7 — 109,7 кэВ, 193,7 — 109,7 кэВ, 332,5 — 109,7 кэВ и 845,6 — 109,7 кэВ указывают на одинаковую последовательность спинов уровней связанных этими каскадами, а именно  $5/2 - 5/2 - 3/2$  или  $1/2 - 3/2 - 3/2$ . Вторая возможность исключается, если

ТАБЛИЦА II

Теоретические значения коэффициентов  $A_2$  для гамма-каскадов  $I_i(\text{DD})/(\text{D} + \leq 0,9\% \text{Q})$   $3/2$

$I \backslash I_i$	1/2	3/2	5/2	7/2
3/2	$-(0,106 \div 0,275)$	$0,085 \div 0,220$	$-(0,021 \div 0,055)$	
5/2		$0,208 \div 0,068$	$-(0,238 \div 0,078)$	$0,075 \div 0,024$

учесть присутствие интенсивного  $E1$  перехода 262,1 кэВ между уровнями 303,5 кэВ и 41,5 кэВ (спин последнего  $5/2^-$  как будет показано ниже). Следовательно, уровням 303,5 кэВ, 442,2 кэВ и 955,3 кэВ следует приписать значения  $I^\pi = 5/2^+$ , а уровням 109,7 кэВ и 249,5 кэВ  $I^\pi = 5/2^-$ . Анализ значения коэффициента  $A_2$  каскада 82,9 — 87,6 кэВ, при известном уже значении спина уровня 211,9( $3/2^+$ ) кэВ, и в предположении, что переход 87,6 кэВ типа  $M1 + \leq 1\% E2$ , позволяет приписать значения спинов  $3/2^-$  и  $5/2^-$  уровням 129,1 кэВ и 41,5 кэВ, соответственно.

Используя установленные значения спинов выше обсуждаемых уровней и данные о мультипольностях переходов [2—4], можно ограничить набор возможных значений спинов для других уровней (табл. III).

В табл. III приводятся также значения спинов и четностей уровней  $^{153}\text{Gd}$ , предложенные Туурнала и др. [3] и авторами работ [12—15] при исследовании (d, p), (d, t), ( $\text{He}^3$ ,  $\alpha$ ) и ( $\alpha$ , xn)-реакций.

Б. Коэффициенты смеси  $\delta_j$  переходов, разряжающих уровни 109,7 кэВ и 129,1 кэВ

Авторы работ [1, 4], по результатам измерений интенсивностей электронов внутренней конверсии на  $L$ -подоболочках интерпретируют переходы 109,7 кэВ и 129,1 кэВ как типа  $M1$ . Однако, если учесть экспериментальные погрешности

Спины и четности уровней  $^{153}\text{Gd}$ 

$E_{ур}$ (кэВ)	Наст. работа	Туррнала и др. [3]	Работы [12—15]
0	$3/2^-^a$	$3/2^-$	$3/2^-$
41,5	$5/2^-$	$5/2^-$	$5/2^-$
93,3	$7/2^-^a$	$7/2^-$	$7/2^-$
109,7	$5/2^-$	$3/2^-, 5/2^-$	$5/2^-$
129,1	$3/2^-$	$3/2^-, 5/2^-$	$3/2^-$
183,4	$5/2^+$	$5/2^+$	$5/2^+$
195,1		$(1/2)^-$	
211,9	$3/2^+$	$3/2^+$	$3/2^+$
249,5	$5/2^-$	$3/2^-, 5/2^-$	$5/2^-$
303,5	$5/2^+$	$5/2^+$	$(5/2)^+$
315,3	$1/2^-, 3/2^-$	$(3/2)^-$	
316,3	$3/2^+$	$3/2^+, 5/2^+$	
361,7	$3/2^-, 5/2^-$	$(3/2)^-$	$3/2^-$
368,7	$5/2^- (7/2)^-$	$(5/2, 7/2)$	
436,7		$1/2^-, 3/2^-$	
442,2	$5/2^+$	$5/2^+$	$(5/2)^+$
448,6	$5/2^-$	$5/2^-, 7/2^-$	
483,5	$3/2^-, 5/2^+$	+	$1/2^+$
509,1	$3/2^-, 5/2^-$	(—)	$3/2^-$
530,4	$3/2^-, 5/2^-$	—	$3/2^-$
548,8	$5/2^-$	$5/2^-$	
709,1	$3/2^+, 5/2^+$	(+)	
783,0		$5/2^+$	
875,5		—	$1/2^-$
865,2	$3/2^+, 5/2^+$		
937,3	$(3/2, 5/2)^+$		
945,1	$3/2^+$	$3/2^+$	
955,3	$5/2^+$	+	
1035,0	$(3/2, 5/2)$	+	
1101,5	$3/2^+$	$3/2^+, 5/2^+$	

\* Принятые значения спинов.

в соотношениях  $L_1:L_2:L_3$  то для обоих переходов допускаются небольшие ( $\leq 0,1\%$ ) примеси компоненты E2. Переход 87,6 кэВ в работах [1—3] классифицируется как чистый M1, в работе [4] как M1+0,1% E2. Исследования ЭВК не решают однозначно также проблему мультипольности перехода 174,4 кэВ.

Дополнительную информацию о мультипольности этих и других переходов можно получить из результатов наших корреляционных измерений. Для этого, принимая установленные нами значения спинов и чисто дипольный (E1) характер переходов: 82,9 кэВ, 102,2 кэВ, 186,8 кэВ, 193,7 кэВ, 206,3 кэВ, 835,4 кэВ, 845,6 кэВ и 991,7 кэВ были определены коэффициенты  $A_{2\text{эксп}}^{(2)}$  для переходов 68,2 кэВ, 87,6 кэВ, 109,7 кэВ и 129,1 кэВ, а затем значения их параметров смеси  $\delta_\gamma$ . Сред-

ТАБЛИЦА IV

Значения коэффициентов  $A_{2\text{эксп}}^{(2)}$  и параметров смеси  $\delta_\gamma$  переходов разрезающих уровни 109,7 кэВ и 129,1 кэВ

Переход $I(\gamma_2)I_f$	$A_{2\text{эксп}}^{(2)}$	$\delta_\gamma^a$
3/2(129,1)3/2	$-0,402 \pm 0,065$	$+0,012 \pm 0,036$
5/2(109,7)3/2	$+0,453 \pm 0,021$	$-0,043 \pm 0,012$
3/2(87,6)5/2	$+0,070 \pm 0,022$	$-0,026 \pm 0,018$
5/2(68,2)5/2	$-0,556 \pm 0,214$	$+0,234^b$

<sup>a</sup>  $\delta_\gamma$  определено как  $\frac{\langle I_f | L+1 | I_i \rangle}{\langle I_f | L | I_i \rangle}$ .

<sup>b</sup> значение определено по данным работы [4].

невзвешенные значения коэффициентов  $A_{2\text{эксп}}^{(2)}$  для этих переходов получены при учете всех каскадов типа  $\gamma_1(E1) \rightarrow \gamma_2(M1 + E2)$  и соответствующие им значения параметров смеси  $\delta_\gamma$  приведены в табл. IV.

Рис. 3, на котором показана зависимость  $A_2^{(2)}$  от параметра смеси  $\delta_\gamma$  (в пределах  $-0,01 \leq \delta_\gamma \leq 0,05$ ) для переходов 5/2( $\gamma_2$ )3/2 и 3/2( $\gamma_2$ )5/2 иллюстрирует точность определения  $\delta_\gamma$  для переходов 87,6 кэВ и 109,7 кэВ.

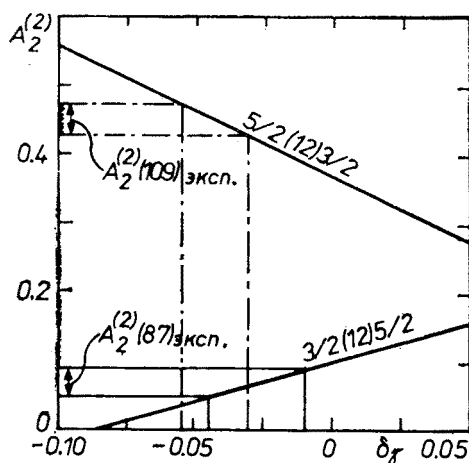


Рис. 3. Определение коэффициентов смеси  $\delta_\gamma$  переходов 87,6 кэВ и 109,7 кэВ

Значение коэффициента  $A_2$  тройного каскада 82,9 — (19) — 109,7 кэВ указывает на чистый квадрупольный характер перехода 19 кэВ.

Установленные значения спинов и четностей 5/2<sup>+</sup> и 3/2<sup>-</sup> уровней 303,5 кэВ и 129,1 кэВ, соответственно, делают предпочтительным E1 мультипольность для перехода 174,3 кэВ. Такому выводу не противоречат также экспериментально

определенные коэффициенты угловых корреляций каскадов 174,3 — (19) — 109,7 и 174,3 — 87,6 кэВ.

В заключение авторы выражают благодарность К. Я. Громову за постоянную поддержку в работе, И. И. Громовой и Н. А. Лебедеву за приготовление источников.

#### ЛИТЕРАТУРА

- [1] В. Harmatz, Т. Н. Handley, J. W. Mihelich, *Phys. Rev.* **128**, 1186 (1962).
- [2] Н. L. Nielson, К. Wilsky, *Nucl. Phys.* **A115**, 377 (1968).
- [3] Т. Tuurnala, А. Siivola, Р. Jartti, Т. Liljavirta, *Z. Phys.* **266**, 103 (1974).
- [4] В. С. Александров, Ц. Вылов, И. И. Громова, К. Я. Громов, Г. Исааков, В. В. Кузнецов, Н. А. Лебедев, М. Потемпа, М. И. Фоминых, А. Ш. Хамидов, И. Холбаев, препринт ОИЯИ Р6-8316, Дубна 1974; *Изв. АН СССР сер. физ.* **39**, 506 (1975).
- [5] В. С. Александров, Ф. Дуда, О. И. Елизаров, Г. А. Жуков, Г. И. Забиякин, З. Зайдлер, И. Звольски, Е. Т. Кондрат, Э. В. Лысенко, В. И. Приходько, В. Г. Тишин, М. И. Фоминых, В. И. Фоминых, В. М. Цупко-Сятников, *Изв. АН СССР сер. физ.* **34**, 69 (1970).
- [6] Я. Ваврышук, А. Ф. Новгородов, В. А. Морозов, Т. М. Муминов, В. И. Разов, Я. Сажински, препринт ОИЯИ, Р6-5526, Дубна 1970.
- [7] W. Andrejtcheff, W. Meiling, F. Stary, *Nucl. Phys.* **A137**, 474 (1969).
- [8] E. Božek, A. Z. Hryniewicz, S. Ogaza, T. Styczeń, *Phys. Lett.* **11**, 63 (1964).
- [9] G. Polok, M. Rybicka, Z. Stachura, J. Styczeń, *INP Progress report* 1, 116, Cracow 1972.
- [10] К. Е. Adelrøth, Н. Nyqvist, А. Røsen, *Phys. Scr.* **2**, 96 (1970).
- [11] D. Ali, *Nucl. Phys.* **71**, 441 (1965).
- [12] P. O. Tjøm, В. Elbek, *Mat. Fys. Medd. Dan. vid. Selsk.* **36**, 8 (1967).
- [13] G. Løvholden, D. G. Burke, J. C. Waddington, *Can. J. Phys.* **51**, 1369 (1973).
- [14] G. Løvholden, D. G. Burke, *Can. J. Phys.* **51**, 2354 (1973).
- [15] G. Løvholden, S. A. Hjørh, Н. Ryde, L. Harms-Ringdahl, *Nucl. Phys.* **A181**, 589 (1972).